

[ 文章编号] 1004- 0609(2000)04- 0596- 03

# 不同阳离子 Y 型分子筛的红外研究<sup>①</sup>

肖和森<sup>1</sup>, 高孝恢<sup>2</sup>

(1. 淮北煤炭师范学院 化学系, 淮北 235000; 2. 中南工业大学 化学系, 长沙 410083)

[摘要] 研究了 CrNaY(晶体结构已经破坏)及 CoNaY, NiNaY, CNaY 和 CaNaY 的红外光谱, 认为: 1150~1050 cm<sup>-1</sup> 和 850~750 cm<sup>-1</sup> 分别归属于 Si—O—T 的反对称和对称伸缩振动, 同时发现: CoNaY, NiNaY, CdNaY 和 CaNaY 在真空加热处理后, CoNaY 和 NiNaY 在 950~850 cm<sup>-1</sup> 范围内出现吸收峰。

[关键词] Y 型分子筛; 红外光谱; CoNaY, NiNaY, CdNaY, CaNaY; CrNaY

[中图分类号] O 643; 38

[文献标识码] A

对分子筛的红外光谱研究已非新鲜课题, 国内外不少学者在这方面都作过报道<sup>[1~6]</sup>, 本文作者试图对 1150~1050 cm<sup>-1</sup> 和 850~750 cm<sup>-1</sup> 谱带的详细归属提出一些初步看法, 另外, 也报道几种阳离子分子筛在 950~850 cm<sup>-1</sup> 处出现的不同现象。

## 1 实验部分

### 1.1 样品的制备

将硅铝比为 2.6:1 的 NaY 分子筛分别与一定浓度的各种离子的硝酸盐溶液在 90 °C(与硝酸铬溶液交换为 60 °C)下交换适当时间, 过滤洗涤后在 500 °C 下焙烧 2 h, 而制备 CrNaY 时焙烧 1 h, 如此重复一次, 得不同离子交换度的各种阳离子分子筛: CoNaY 84.6%, NiNaY 81.1%, CdNaY 89%, CaNaY 90%, CrNaY 53.6%。用 XRD 检查 CrNaY 的结晶度, 分析表明其晶体结构已被破坏。

### 1.2 红外测试

将 0.5 mg 样品与 KBr 研细混合均匀后, 压制成片, 置于红外吸收池内, 将样品在下列条件下, 在 Nicolet 公司生产的型号为 NEXUS 470 FT-IR 的红外光谱仪上摄谱, 扫描次数为 32 次, 分辨率为 4 cm<sup>-1</sup>。

条件 a: 在室温 N<sub>2</sub> 气氛中摄谱。

条件 b: 抽空至 1 × 10<sup>-1</sup> Pa, 以 5~10 K/min 的速度升温至 523 K, 恒温, 保持该真空度 4 h, 冷却至室温。

条件 c: 室温下, 将 2.133 kPa 的饱和苯蒸汽通

入红外池, 吸附 0.5 h 后, 抽空至 10<sup>-1</sup> Pa, 并保持该真空度 2 h。

## 2 结果与讨论

图 1 为晶体结构已被完全破坏的 CrNaY 的红外光谱图。该晶体结构的破坏是由于 Si—O<sub>1</sub>—T 结构的断裂引起的<sup>[6]</sup>, 在 Si—O<sub>1</sub>—T 断裂以后, 谱带 1200 cm<sup>-1</sup> (Si—O<sub>1</sub>—T 未断裂时谱带频率为 1150 cm<sup>-1</sup>) 和谱带 880 cm<sup>-1</sup> (Si—O<sub>1</sub>—T 未断裂时谱带频率为 795 cm<sup>-1</sup>) 的强度明显减弱, 即这两个带对 Si—O—T 的含量很敏感。同时, 虽然晶体结构已完全

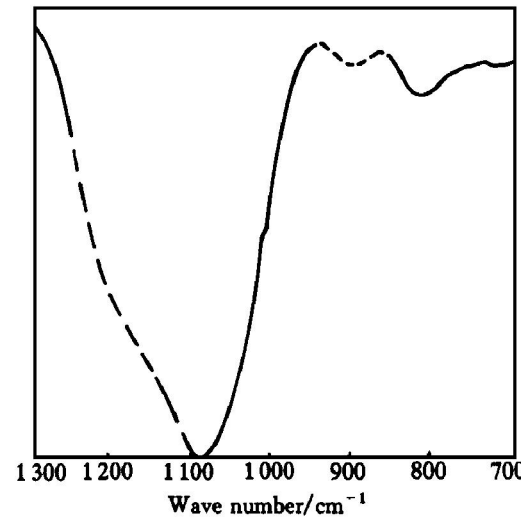


图 1 CrNaY 在条件 b 下的红外光谱

Fig. 1 Infrared spectrum of CrNaY at condition b

① [基金项目] 国家自然科学基金资助项目(27170037)

[收稿日期] 1999-09-26; [修订日期] 2000-01-09

[作者简介] 肖和森(1963-), 男, 硕士。

破坏, 但这两个谱带却依然存在(只是峰强度大大减弱而已), 由此可见, 这两个谱带应归属于 Si—O—T 的反对称伸缩振动和对称伸缩振动。而谱带  $1080\text{ cm}^{-1}$  (Si—O<sub>1</sub>—T 未断裂时谱带频率为  $1028\text{ cm}^{-1}$ ) 和谱带  $800\text{ cm}^{-1}$  (Si—O<sub>1</sub>—T 未断裂时频率为  $730\text{ cm}^{-1}$ ) 的强度对 Si—O—T 的含量不敏感, 这是由于 O—T—O 的反对称伸缩振动和对称伸缩振动产生所致。

比较图 1 和图 2, 在 Si—O<sub>1</sub>—T 断裂以后, Si—O—T 和 O—T—O 的对称和反对称伸缩振动谱带都移向高频, 说明在 Si—O<sub>1</sub>—T 断裂以后,

Si—O—T 及 O—T—O 的键合力得到加强。

众所周知, 分子筛骨架结构可分为一级结构和二级结构, 根据文献[6]对  $511, 415, 403\text{ cm}^{-1}$  吸收峰的归属和上述讨论的结果, 我们认为: Si—O—T 及 O—T—O 两者都属于分子筛的一级结构。于是, 我们可以将 Y 型分子筛骨架振动的主要吸收谱带较详细的归属列于表 1 中。

图 2 表明, CoNaY, NiNaY, CdNaY, CaNaY 在真空活化处理之前, 在  $950\sim 850\text{ cm}^{-1}$  范围内都无明显吸收峰产生; 通过真空活化处理以后, CoNaY 和 CaNaY 在该范围内产生了吸收峰, 且 CoNaY 产

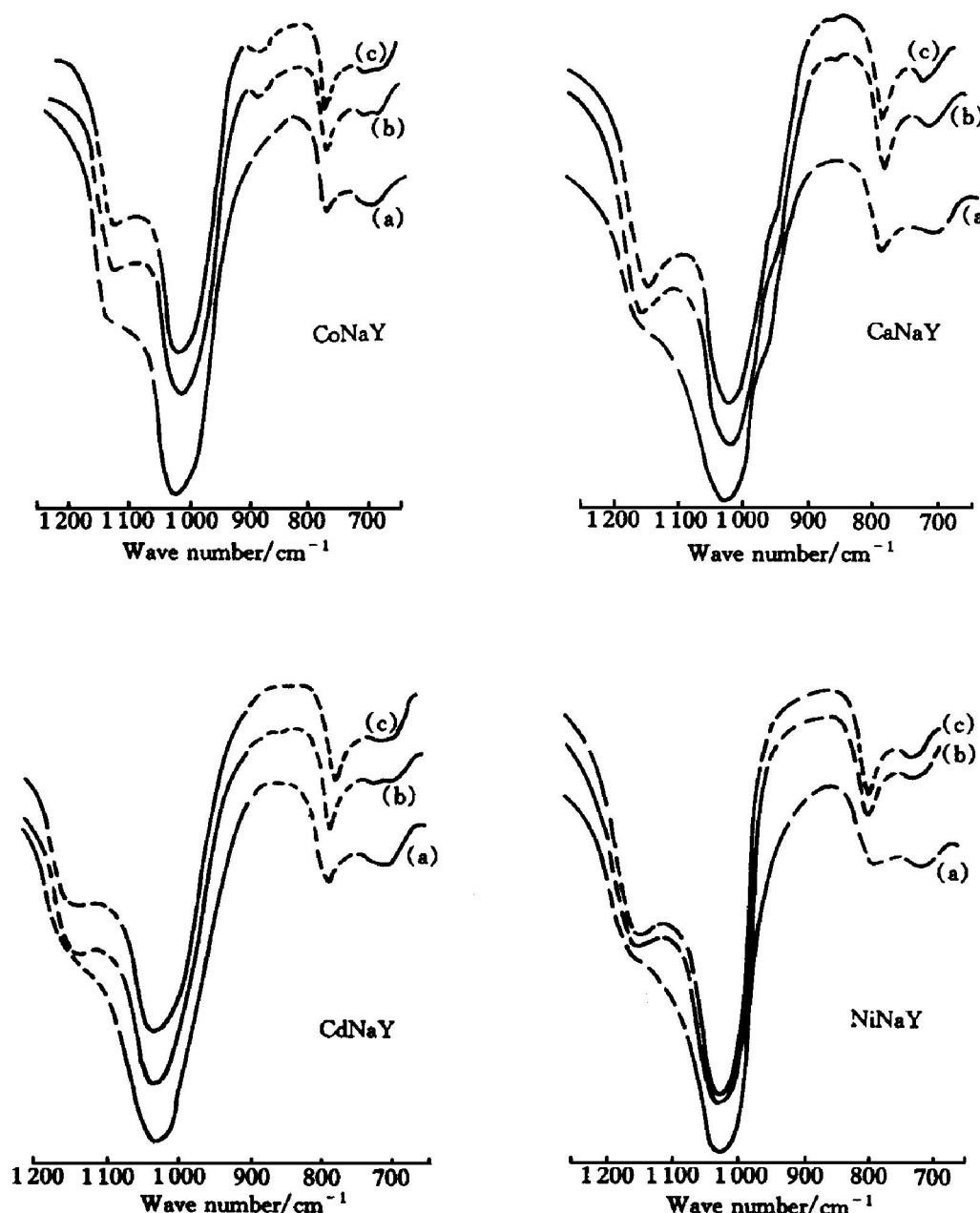


图 2 CoNaY, CaNaY, CdNaY, NiNaY 的红外光谱

**Fig. 2** Infrared spectra of CoNaY, CaNaY, CdNaY and NiNaY

(a) —In atmosphere of  $\text{N}_2$ ; (b) —After pumped to  $1\times 10^{-1}\text{ Pa}$  and heated at  $523\text{ K}$  for  $4\text{ h}$ ;

(c) —After adsorbing benzene under  $2.133\text{ kPa}$  for  $0.5\text{ h}$

表1 Y型分子筛骨架振动红外吸收峰的归属

Table 1 Detailed infrared assignments of framework vibration bands of Y-type zeolite ( $\text{cm}^{-1}$ )

Elementary structure's vibration bands						Secondary structure's vibration bands		
Si—O—T			O—T—O			D6 ring	6 ring	12 ring
Asym stre.	Sym stre.	Bend	Asym stre.	Sym stre.	Bend			
1150	795	511	1028	730	462	582	415	403

Asym= Asymmetric; Sym= Symmetric; Stre= Stretch vibration

生的吸收峰的强度大于CaNaY的。CdNaY产生的吸收峰不太明显, NiNaY 没有吸收峰产生。在吸附苯分子之后, CaNaY和CoNaY在该范围内产生的吸收峰无明显变化。故离子半径、离子所带电荷等阳离子性质对  $950\sim 850 \text{ cm}^{-1}$  处吸收谱带可能有影响。

### 3 结论

通过上述讨论可知: 在  $1250\sim 650 \text{ cm}^{-1}$  范围内,  $1150\sim 1050 \text{ cm}^{-1}$  和  $850\sim 750 \text{ cm}^{-1}$  两个谱带分别归属于 Si—O—T 的反对称和对称伸缩振动, 并认为, 分子筛的骨架振动是由 Si—O—T 和 O—T—O 两种一级结构与其它二级结构的振动产生的。同时发现: CoNaY, NiNaY, CdNaY, CaNaY 分子筛经过真空加热处理后, CoNaY, CaNaY 在  $950\sim 850 \text{ cm}^{-1}$  范围内出现明显的吸收峰。

### [ REFERENCES]

[1] Szostake R and Thomas T L. Preparation of ferrisilicate

SZM-5 molecular sieves [J]. J Catal, 1986, 100(2): 555– 557.

- [2] Szostake R and Thomas T L. Crystallization of ferrisilicate molecular sieves with a sodalite structure [J]. J Chem Soc Chem Commun, 1986(2): 113– 114.
- [3] Szostake R and Thomas T L. Reassessment of zeolite and molecular sieve framework infrared vibrations [J]. J Catal, 1986, 101(2): 549– 552.
- [4] Hannus I, Palinko I and Kiricsi I. Fourier transform mid and far IR and Na NMR analysis of framework vibrations and distribution of cations in alkaliexchanged Y type zeolites [J]. Microchim Acta(Suppl), 1997, 14: 701.
- [5] Zahariev Penchev V and Barisova N. Infrared study of structural changes in zeolite [J]. Izv Khim, 1979, 12(1): 35– 41.
- [6] XIAO He-miao(肖和淼), GAO Xiao-hui(高孝恢), CHEN Shi-fu(陈士夫), et al. Y型分子筛的红外光谱 [J]. The Chinese Journal of Nonferrous Metals(中国有色金属学报), 1999, 9(4): 833.

## Infrared spectrum investigation of varied cations' Y-type zeolites

XIAO He-miao<sup>1</sup>, GAO Xiao-hui<sup>2</sup>

(1. Department of Chemistry, HuaiBei Coal Mining Teacher's College,

HuaiBei 235000, P. R. China;

2. Department of Chemistry, Central South University of Technology,

Changsha 410083. P. R. China)

**[Abstract]** The spectra of CrNaY(which has demolished), CoNaY, NiNaY, CdNaY and CaNaY were investigated. It is suggested that the bands in the range of  $1150\sim 1050 \text{ cm}^{-1}$  and  $850\sim 750 \text{ cm}^{-1}$  are assigned to the asymmetric and the symmetric stretching vibration of Si—O—T respectively. It is discovered that the absorption peak arises in the range of  $950\sim 850 \text{ cm}^{-1}$  in CoNaY and CaNaY respectively after CoNaY, NiNaY, CdNaY and CaNaY were heat treated under vacuum.

**[Key words]** Y-type zeolite; IR spectra; CoNaY, NiNaY, CdNaY, CaNaY; CrNaY

(编辑 朱忠国)